

## Содержание

|   |    |
|---|----|
| Введение  | 3  |
| 1 Алгоритмы классификации данных  | 4  |
| 1.1 Метод опорных векторов  | 5  |
| 1.2 Метод k-ближайших соседей   | 7  |
| 1.3 Наивный байесовский классификатор   | 8  |
| 2 Разработка программы для классификации с использованием библиотеки Scikit-learn | 10 |
| 2.1 Обзор существующих библиотек для машинного обучения                           | 10 |
| 2.1.1 Scikit-learn  | 10 |
| 2.1.2 Theano  | 11 |
| 2.1.3 TensorFlow  | 11 |
| 2.2 Алгоритм работы и структура программы   | 12 |
| 2.3 Визуализация данных   | 14 |
| 3 Классификация температурных данных компьютерного моделирования                  | 16 |
| 3.1 Данные для классификации  | 16 |
| 3.2 Частотный анализ классифицируемых данных                                      | 17 |
| 3.3 Результаты классификации моделей с опухолью радиусом 0.5 см                   | 20 |
| 3.4 Результаты классификации моделей с опухолью радиусом 0.75 см                  | 21 |
| 3.5 Результаты классификации для всех моделей вместе                              | 22 |
| Заключение  | 24 |
| Список литературы   | 25 |
| Приложение А (обязательное) Программный код                                       | 30 |
| Приложение Б (обязательное) Лист задания  | 35 |
| Приложение В (обязательное) Полученные при выполнении работы компетенции          | 37 |

## Введение

На протяжении всего времени существования человечества проблема возникновения, исследования и лечения различных заболеваний у человека является важной задачей медицинской деятельности. Особенно это касается онкологических заболеваний. На сегодняшний день нет четкой причины, по которой люди заболевают раком, но существует множество способов ранней диагностики таких заболеваний [4].

В данной работе рассматривается использование результатов моделирования, соответствующих методике микроволновой радиотермометрии молочных желез на основе работы специального диагностического комплекса РТМ-01-РЭС [28]. Также рассматриваются популярные алгоритмы классификации данных и библиотеки для языка программирования Python, реализующие данные алгоритмы.

Главной целью работы является проведение исследования влияния размеров опухоли на точность диагностики раковых заболеваний на основе данных микроволновой радиотермометрии, полученных в ходе компьютерного моделирования. Так как проведение классификации только на температурных данных может не дать хорошего результата, необходимо выявить какой из алгоритмов будет лучше работать с разными размерами опухоли и вариациями остальных параметров.

## 1 Алгоритмы классификации данных

Классификация данных состоит из прогнозирования определенного результата на основе уже известных данных. Чтобы предсказать результат, алгоритм обрабатывает данные, содержащие набор атрибутов и соответствующий каждому набору результат, обычно называемый атрибутом прогнозирования цели или классом [5]. Формируется модель алгоритма, которая пытается обнаружить отношения между атрибутами, которые позволили бы предсказать результат [6]. Такая процедура называется обучением модели, а набор данных, используемый для этого – тестовой выборкой [8].

Следующим шагом после обучения модели является прогнозирование – процедура определения класса, при которой используется набор данных с неизвестными классами. Такой набор данных, который содержит тот же набор атрибутов, за исключением атрибута прогнозирования, часто называют тестовой выборкой [15].

Алгоритм анализирует входные данные и выдает прогноз. Точность прогноза определяет, насколько «хорош» алгоритм. Например, в медицинской базе данных обучающий набор должен иметь соответствующую информацию о пациенте, записанную ранее, где атрибутом прогноза является наличие или отсутствие у пациента проблем со здоровьем.

Для определения того, какой именно алгоритм использовать для конкретной задачи можно воспользоваться схемой, изображенной на рисунке 1. Исходя из того, что в текущей задаче используется не тестовая информация и имеется 160 примеров, то были выбраны алгоритмы SVM, k-ближайших соседей и наивный байесовский классификатор, описанные ниже.

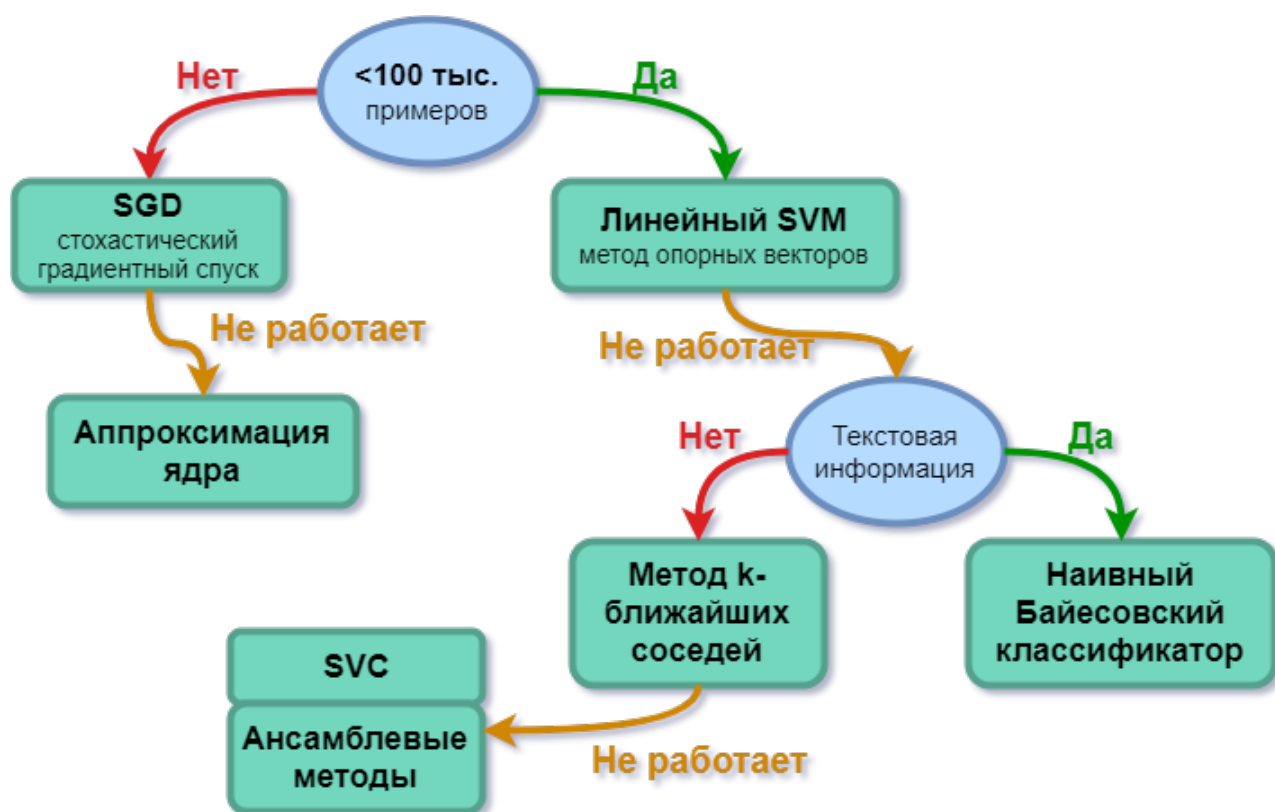


Рисунок 1 – Схема для определения алгоритма классификации для конкретной задачи

## 1.1 Метод опорных векторов

Метод опорных векторов или SVM – это метод статистической классификации [2]. Он широко используется для задач различного рода и хорошо себя в них показывает [3].

Основной идеей метода является представление атрибутов данных в виде векторов и переход в пространство более высокой размерности, чем получившееся на этапе представления векторами. Затем ищется гиперплоскость с максимальным зазором в пространстве между объектами разных классов [34] [11].

На рисунке 2 показан пример классификации методом SVM. Красной линией выделена как раз та самая гиперплоскость, четко разделяющая объекты разных классов друг от друга.

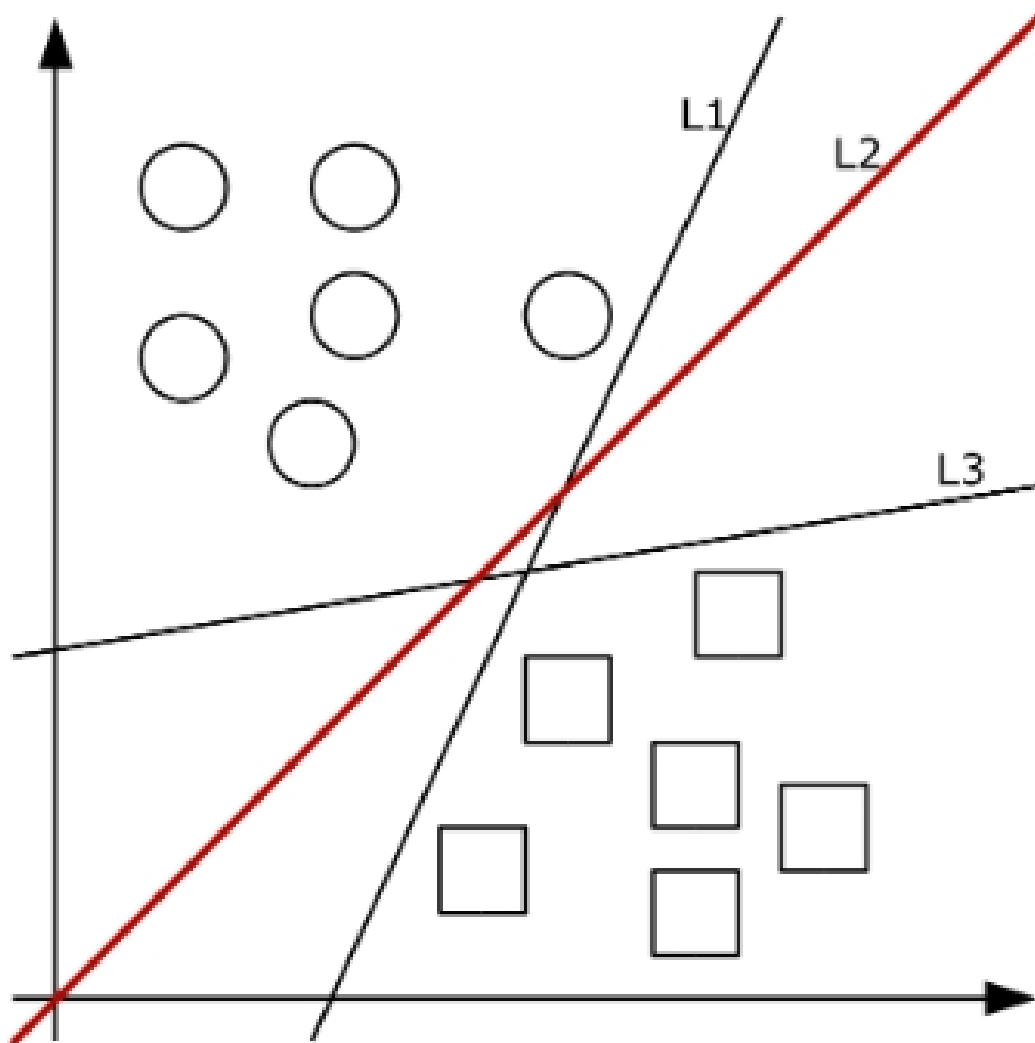


Рисунок 2 – Пример классификации методом SVM

Алгоритм может использоваться с одним из следующих видов ядер [3]:

- Полиномиальное (однородное)  $k(x, x') = (x \cdot x')^d$ ;
- Полиномиальное (неоднородное)  $k(x, x') = (x \cdot x' + 1)^d$ ;
- Радиальная базисная функция  $k(x, x') = \exp(-\gamma \|x - x'\|^2)$ , для  $\gamma > 0$ ;
- Радиальная базисная функция Гаусса  $k(x, x') = \exp\left(-\frac{\|x - x'\|^2}{2\sigma^2}\right)$ ;
- Сигмоид  $k(x, x') = \tanh(kx \cdot x' + c)$ .

## 1.2 Метод k-ближайших соседей

Алгоритм k-ближайших соседей является простым статистическим алгоритмом обучения, в котором объект классифицируется своими соседями. При классификации таким методом объект относится к классу, наиболее распространенному среди его k-ближайших соседей [33] [36]. Пример классификации приведен на рисунке 3, где в качестве классифицируемого объекта используется прямоугольник и существует несколько объектов известных классов – белые точки и черные. Замерив расстояние от объекта до его соседей с различными классами и основываясь на методе k-ближайших соседей данный объект будет отнесен к классу черных точек, а не белых.

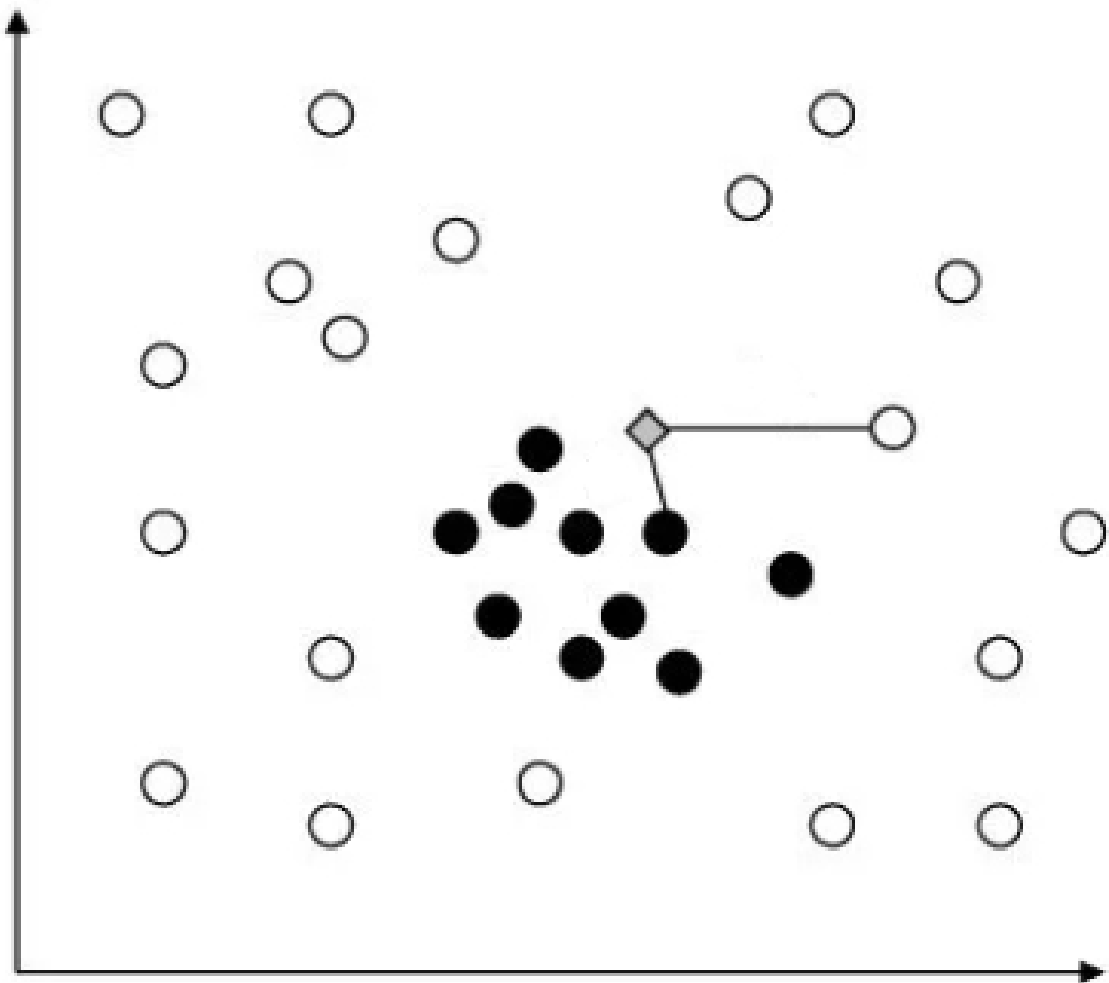


Рисунок 3 – Пример классификации методом k-ближайших соседей

При нахождении атрибутов учитывается значимость атрибутов и часто применяется прием растяжения осей, демонстрируемый в формуле (1). Использование данного приема снижает ошибку классификации.

$$D_E = \sqrt{3(x_A - y_A)^2 + (x_B - y_B)^2}, \quad (1)$$

где  $x_A, y_A$  – значения атрибута А в наборе данных,  $x_B, y_B$  – значения атрибута В.

Данный алгоритм возможно применять как для данных с маленьким количеством атрибутов, так и с достаточно большим. Важным моментом при работе с алгоритмом является определение функции расстояния между значениями. Примером такой функции может быть евклидово расстояние – формула (2).

$$D_E = \sqrt{\sum_i^n (x_i - y_i)^2}, \quad (2)$$

где  $x_i, y_i$  – значения атрибутов в наборе данных.

### 1.3 Наивный байесовский классификатор

Наивный байесовский классификатор является простым вероятностным классификатором и основывается на применении теоремы Байеса со строгими предположениями о независимости [33] [23]. Хотя наивный байесовский классификатор редко применим к большинству реальных задач, но зачастую в определенных задачах он демонстрирует хорошие результаты и часто конкурирует с более сложными методами, такими как SVM и классификационным деревьями [8]. Классификация данным методом очень зависит от распределения зависимостей атрибутов, а не от самих зависимостей [26].

Вероятностная модель классификатора:

$$p(C|F_1, \dots, F_n) = \frac{p(C)p(F_1, \dots, F_n|C)}{p(F_1, \dots, F_n)}, \quad (3)$$

где  $C$  – класс модели, а  $F_i$  – классифицируемые модели [8].

Использование формулы (3) при классификации дает минимально значение среднего риска или математического ожидания ошибки:

$$R(a) = \sum_{y \in Y} \sum_{\varsigma \in Y} \lambda_y P_y P_{x,y} \{a(x) = \varsigma | y\}, \quad (4)$$

где  $\lambda_y$  – цена ошибки при отнесении объекта класса  $Y$  к какому-либо другому классу.



## **2 Разработка программы для классификации с использованием библиотеки Scikit-learn**

### **2.1 Обзор существующих библиотек для машинного обучения**

На текущий момент существует множество готовых реализаций алгоритмов машинного обучения и не имеет смысла делать то же самое с нуля, если задача не имеет каких-то особенностей, делающих невозможным использование готовых библиотек. Каждая из библиотек, рассматриваемых в работе, хороша в своей области, успешно используется в решении задач и проверена временем. Рассмотрим некоторые из популярных библиотек для языка программирования Python.

#### **2.1.1 Scikit-learn**

Scikit-learn – это одна из самых популярных библиотек для языка Python, в которой реализованы основные алгоритмы машинного обучения, такие как классификация различных типов, регрессия и кластеризация данных. Библиотека распространяется свободно и является бесплатной для использования в своих проектах [34].

Данная библиотека создана на основе двух других – NumPy и SciPy, имеющих большое количество готовых реализаций часто используемых математических и статистических функций. Библиотека хорошо подходит для простых и средней сложности задач, а также для людей, которые только начинают свой путь в изучении машинного обучения.

### 2.1.2 Theano

Theano – это библиотека, в которой содержится базовый набор инструментов для машинного обучения и конфигурирования нейросетей. Так же у данной библиотеки есть встроенные методы для эффективного вычисления математических выражений, содержащих многомерные массивы [34].

Theano тесно интегрирована с библиотекой NumPy, что дает возможность просто и быстро производить вычисления. Главным преимуществом библиотеки является возможность использования GPU без изменения кода программы, что дает преимущество при выполнении ресурсоемких задач. Также возможно использование динамической генерации кода на языке программирования C [25].

### 2.1.3 TensorFlow

Самой популярной и масштабной по применению является библиотека TensorFlow, используемая для глубокого машинного обучения [22]. Библиотека разрабатывается в тесном сотрудничестве с компанией Google и применяется в большинстве их проектов где используется машинное обучение. Библиотека использует систему многоуровневых узлов, которая позволяет вам быстро настраивать, обучать и развертывать искусственные нейронные сети с большими наборами данных.

Библиотека хорошо подходит для широкого семейства техник машинного обучения, а не только для глубокого машинного обучения. Программы с использованием TensorFlow можно компилировать и запускать как на CPU, так и на GPU. Также данная библиотека имеет обширный встроенный функционал логирования, собственный интерактивный визуализатор данных и логов [30].

## 2.2 Алгоритм работы и структура программы

Целью разработки программы была классификация температурных данных с разными разамирами опухоли и графическое представление полученных результатов. Блок-схема получившейся программы представлена на рисунке 4.

На первом этапе температурные данные считываются из CSV-файла с помощью библиотеки Pandalas. Название папки с файлом моделей определенного размера опухоли хранится в отдельной переменной. Затем производится создание и обучение моделей классификации методов SVM, k-ближайших соседей и наивного байесовского классификатора на данных обучающей выборки.

Следующим этапом после обучения идет прогнозирование или классификация с использованием данных тестовой выборки. После получения результирующих классов из модели необходимо сравнить их с теми, которые уже известны для определения точности работы алгоритма. После обработки результатов классификации полученные данные отображаются на круговых диаграммах отдельно для каждого алгоритма. Полный код получившейся программы приведен в приложении (листинг А.1).



Рисунок 4 – Блок-схема программы для классификации температурных данных

## 2.3 Визуализация данных

Для визуализации данных моделей и результатов классификации была выбрана библиотека для языка Python Matplotlib. Данная библиотека позволяет строить графики, гистограммы, круговые диаграммы, карты распределения и 3D-объекты (рисунок 5) [25]. Возможна детальная настройка цветов линий, надписей, расположения элементов и подписей к графикам, осям и значениям.

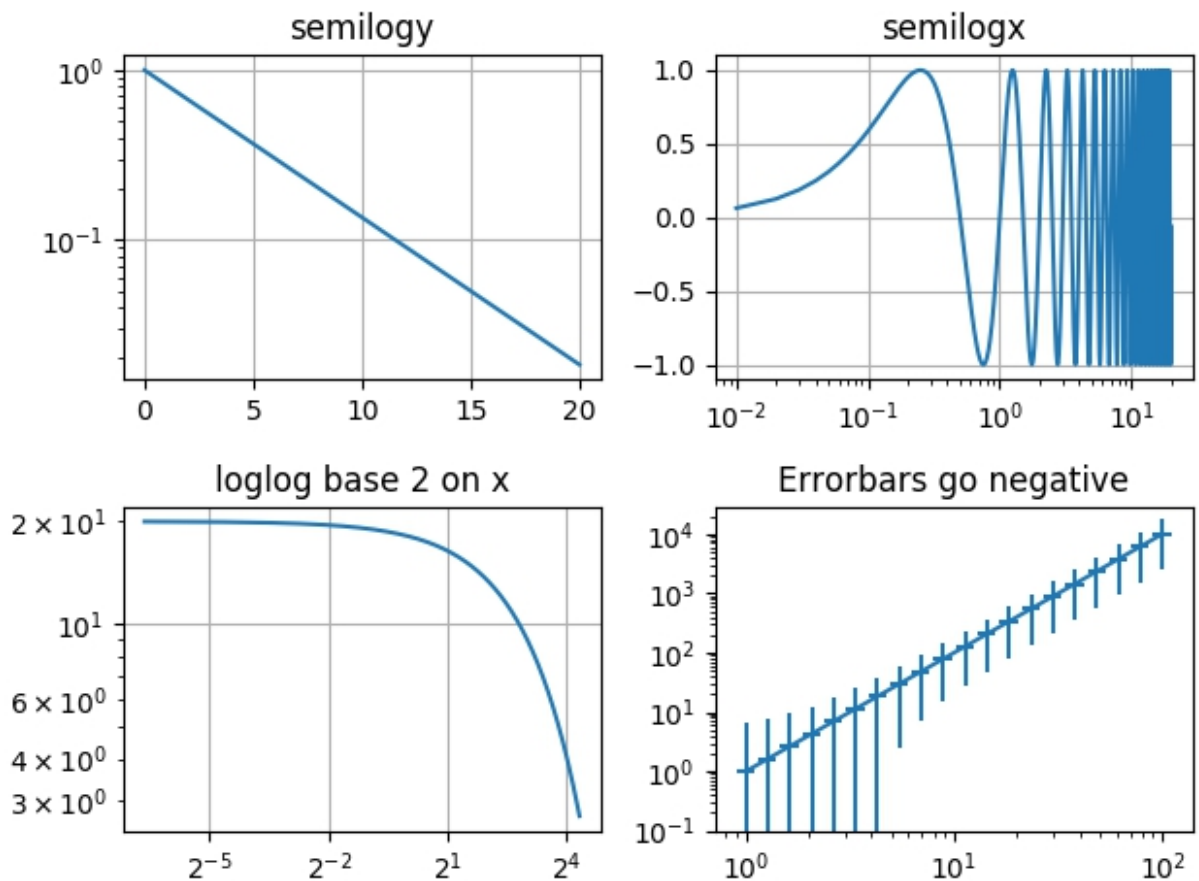


Рисунок 5 – Примеры графиков, построенных с помощью библиотеки Matplotlib

Библиотека содержит множество разных способов построения и отображения объектов, имея многослойную структуру. За счет этого имеется возможность накладывать графики друг на друга. Графики, построенные через Matplotlib отображаются в отдельном окне при запуске программы из тер-

минала, при использовании Jupyter Notebook отображаются прямо в тексте. Также имеется возможность встроить графику в программу с графическим интерфейсом на Python, реализованную с помощью библиотеки Tkinter.

### 3 Классификация температурных данных компьютерного моделирования

#### 3.1 Данные для классификации

В работе использовались данные компьютерного моделирования яркостной температуры молочных желез больных и здоровых пациентов. Данные были представлены в виде девяти значений температуры на поверхности кожи и девяти значений внутренней температуры, согласно методике обследования методом радиотермометрии [4] [1]. Схема расположения точек при замере температур представлена на рисунке 6 [19]. Отдельным атрибутом является класс модели. Для здоровых моделей значения класса было равно нулю, а для больных – единице. Исходя из количества классов, классификацию в данной работе можно считать бинарной.

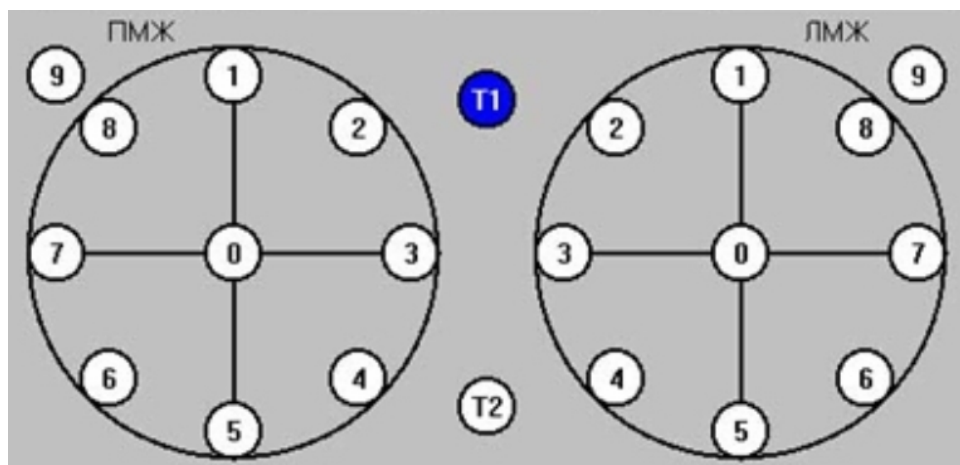


Рисунок 6 – Пример данных температурных данных компьютерного моделирования, где в столбце «target» здоровые — «0», больные — «1»

Для исследования были взяты температурные данные моделей с размером опухоли 0.5 см и 0.75 см. Данные были представлены в виде двух CSV-файлов, в которых находилось по 160 моделей для каждого размера опухоли соответственно (рисунок 7). Одна половина моделей состояла из здоровых пациентов, а другая из больных. На подготовительном этапе данные были разбиты на обучающую и тестовую выборки в соотношении один к четырем.

| 0ртм | 1ртм | 2ртм | 3ртм | 4ртм | 5ртм | 6ртм | 7ртм | 8ртм | 0ик  | 1ик  | 2ик  | 3ик  | 4ик  | 5ик  | 6ик  | 7ик  | 8ик  | target |
|------|------|------|------|------|------|------|------|------|------|------|------|------|------|------|------|------|------|--------|
| 33.5 | 33.1 | 33.7 | 32.6 | 32.7 | 33.2 | 33.4 | 33.2 | 33.3 | 29.8 | 29.9 | 30.2 | 30.0 | 30.0 | 31.1 | 29.4 | 29.6 | 29.8 | 0      |
| 33.7 | 32.8 | 33.3 | 33.2 | 33.5 | 33.5 | 33.2 | 32.9 | 32.4 | 32.9 | 31.9 | 31.8 | 31.4 | 31.5 | 31.0 | 32.1 | 31.1 | 31.4 | 0      |
| 33.3 | 32.4 | 32.5 | 34.2 | 33.7 | 33.4 | 32.8 | 32.1 | 32.2 | 31.6 | 31.0 | 30.8 | 32.8 | 31.9 | 31.6 | 31.2 | 30.8 | 30.7 | 1      |
| 34.2 | 33.2 | 33.9 | 34.0 | 34.3 | 33.5 | 33.2 | 33.5 | 33.2 | 32.6 | 32.3 | 32.6 | 32.1 | 33.0 | 32.3 | 31.6 | 31.0 | 32.3 | 1      |
| 35.7 | 34.5 | 34.6 | 34.7 | 33.7 | 35.0 | 34.8 | 35.2 | 34.7 | 35.4 | 33.9 | 33.9 | 34.0 | 34.8 | 34.4 | 34.4 | 34.9 | 33.9 | 0      |
| 33.4 | 34.0 | 33.8 | 33.9 | 33.5 | 33.9 | 33.1 | 33.1 | 33.5 | 32.1 | 32.3 | 32.3 | 32.4 | 31.8 | 31.7 | 31.3 | 31.2 | 32.2 | 0      |
| 35.5 | 34.6 | 33.6 | 34.4 | 34.7 | 34.2 | 33.6 | 33.6 | 33.5 | 33.5 | 33.2 | 32.7 | 32.6 | 32.8 | 32.2 | 31.3 | 30.9 | 32.2 | 1      |
| 34.8 | 34.0 | 34.1 | 34.4 | 34.3 | 33.8 | 33.9 | 33.9 | 34.2 | 32.1 | 31.5 | 31.5 | 32.0 | 31.4 | 31.7 | 31.0 | 30.6 | 31.2 | 0      |
| 35.7 | 34.4 | 34.4 | 34.2 | 34.7 | 34.2 | 34.1 | 35.1 | 35.6 | 34.4 | 33.6 | 32.9 | 33.8 | 33.3 | 33.0 | 33.3 | 34.5 | 34.6 | 1      |
| 33.9 | 33.0 | 33.1 | 33.3 | 32.8 | 33.5 | 33.0 | 32.5 | 32.7 | 31.9 | 31.2 | 31.9 | 31.6 | 31.9 | 31.8 | 32.4 | 30.3 | 30.9 | 0      |

Рисунок 7 – Пример данных температурных данных компьютерного моделирования, где в столбце «target» здоровые — «0», больные — «1»

## 3.2 Частотный анализ классифицируемых данных

Перед классификацией температурных данных был проведен частотный анализ для исследования распределения температуры в зависимости от того, в какой точке она была замерена и есть ли у данной модели опухоль. Частотный анализ был произведен с помощью библиотеки Pandas, а графическое отображение результатов с помощью Matplotlib. Точки, которые были проанализированы соответствуют точкам на схеме измерений согласно методу РТМ (рисунок 6). Код программы для отображения результатов частотного анализа находится в приложении (листинг А.2).

Сначала для исследования была взята точка 0ртм. Результаты исследования представлены в виде диаграммы частот (рисунок 8), где верхняя диаграмма – это здоровые пациенты, а нижняя – больные.



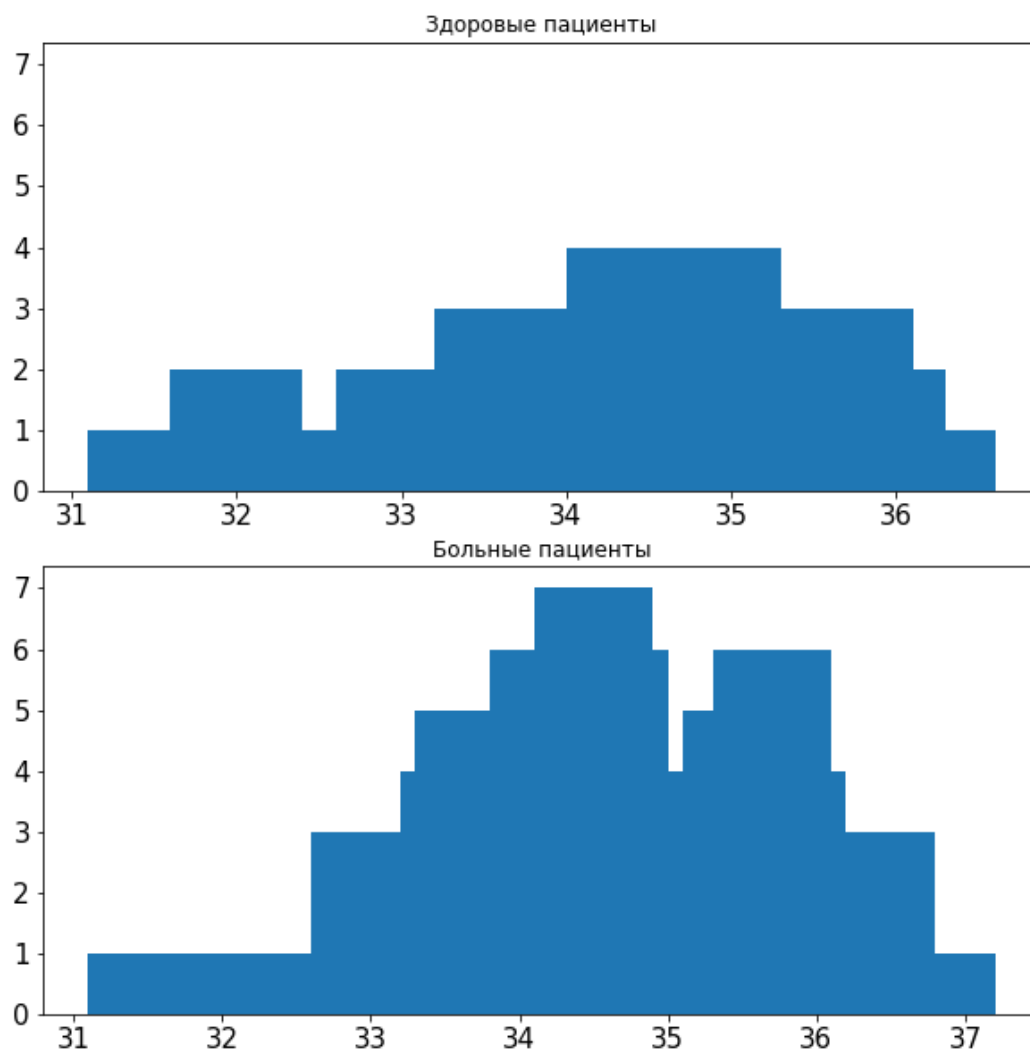


Рисунок 8 – Диаграмма частот температур в точке 0ртм. Верхняя диаграмма — здоровые пациенты, нижняя — больные

Изучив диаграммы, можно заметить, что в данной точке у пациентов чаще встречаются более высокие температуры, нежели у здоровых. Точка 0ртм больше всего подвержена воздействию от опухоли в температурном смысле, так как находится ровно в центре молочной железы.

Следующей для исследования была рассмотрена точка 3ртм, диаграмма частот температур которой представлена на рисунке 9. Для данной точки можно наблюдать схожую картину с точкой 0ртм – тут так же больше значе-

ний со средней температурой у больных пациентов, несмотря на то, что эта точка не является центральной.

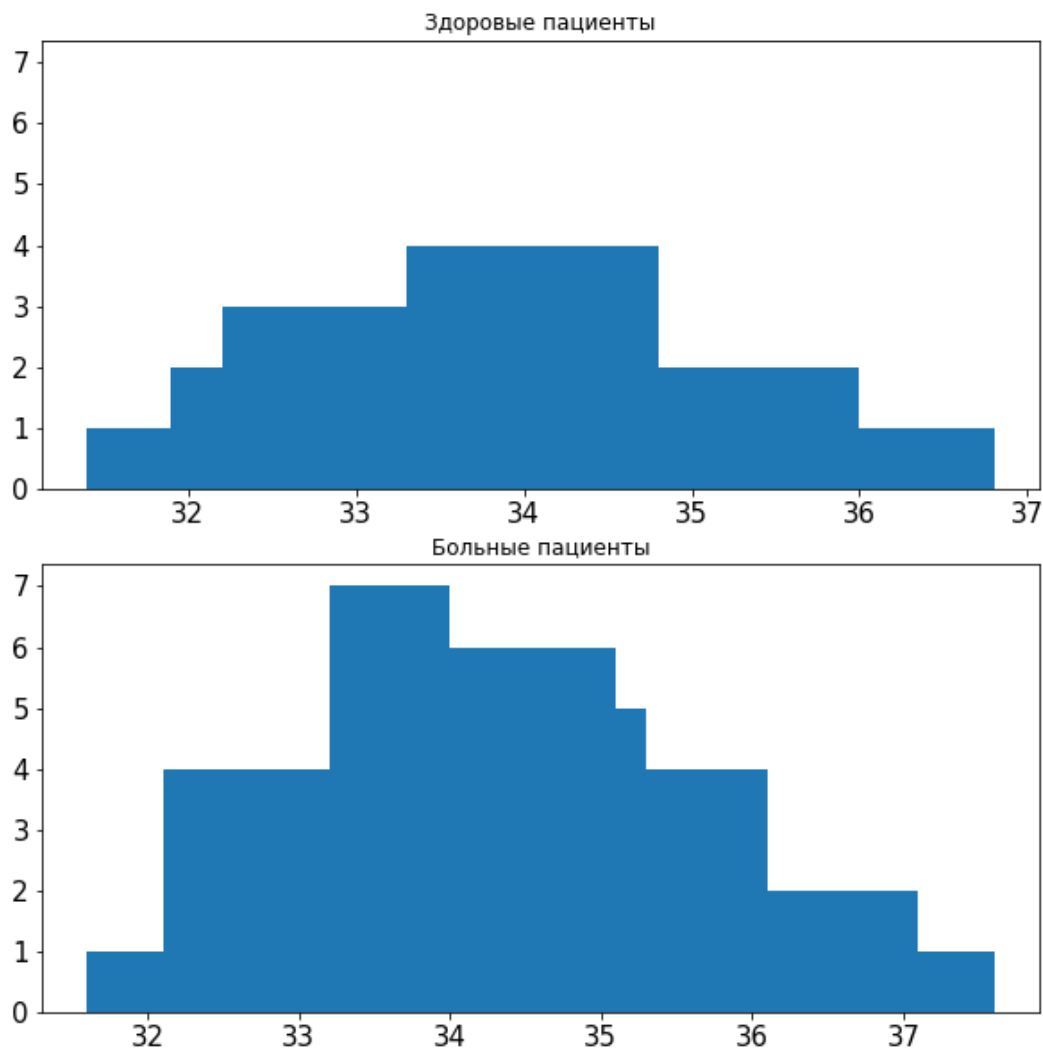


Рисунок 9 – Диаграмма частот температур в точке Зртм. Верхняя диаграмма — здоровые пациенты, нижняя — больные

Также была рассмотрена точка 7ртм, для которой как видно из диаграммы частот температур (рисунок 10) ситуация аналогична с точками 0ртм и Зртм.

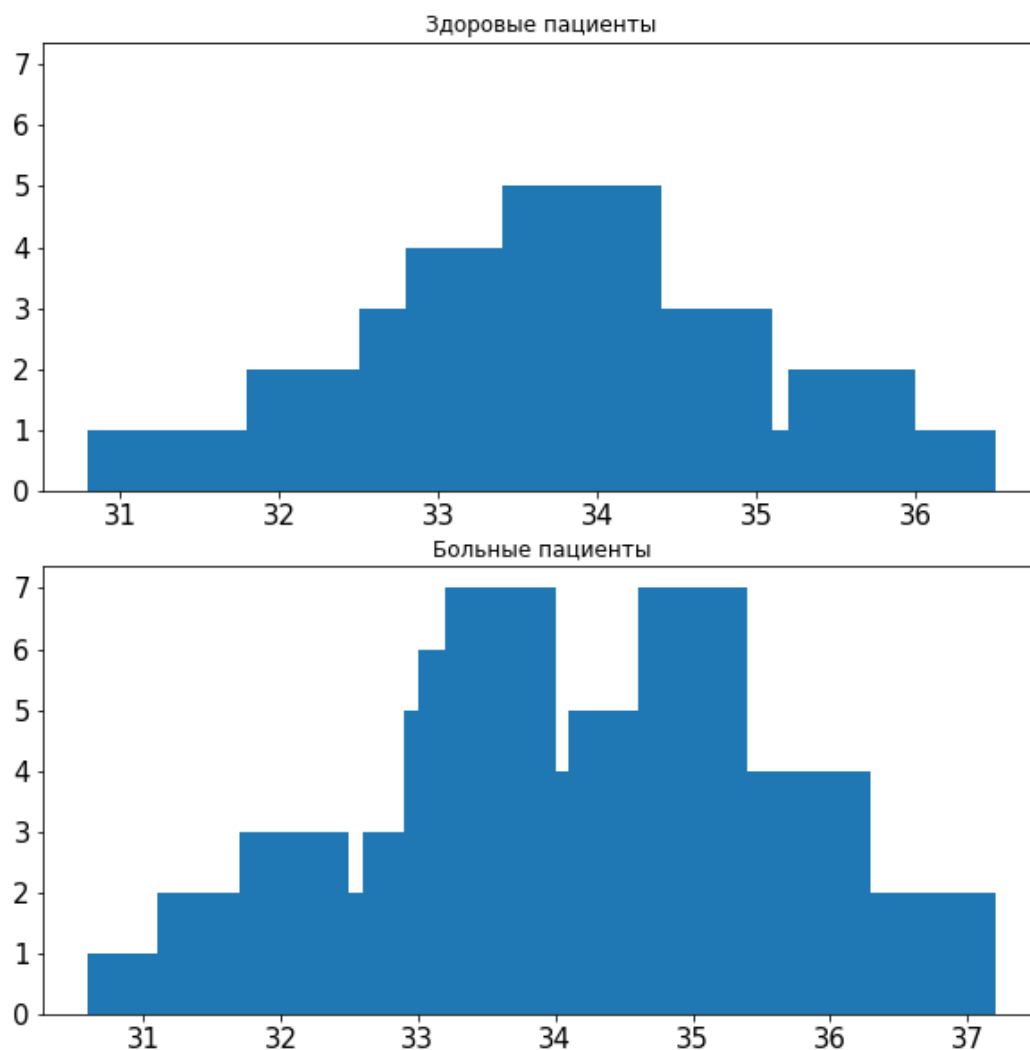


Рисунок 10 – Диаграмма частот температур в точке 7ртм. Верхняя диаграмма — здоровые пациенты, нижняя — больные

### 3.3 Результаты классификации моделей с опухолью радиусом 0.5 см

Для моделей с разными размерами опухоли отдельно была посчитана точность определения класса и построены круговые диаграммы для наглядности, где как «1» отмечены верно классифицированные модели, а как «0» —

неверно классифицированные.

Как видно из диаграммы на рисунке 11, для моделей с радиусом опухоли 0.5 см лучший результат показал метод SVM, точность определения классов которого равна 57.5%. Хуже всего для данных моделей показал себя наивный байесовский классификатор с точностью классификации 27.5%



Рисунок 11 – Диаграммы с точностью определения класса для трех методов классификации моделей с размером опухоли  $R=0.5$  см («1» – классифицировано верно, «0» – классифицировано неверно)

### 3.4 Результаты классификации моделей с опухолью радиусом 0.75 см

Рассмотрим результаты классификации для моделей с радиусом опухоли 0.75 см (рисунок 12). Как видно из диаграмм, для данных моделей наивный байесовский классификатор сработал лучше, для для моделей с радиусом опухоли 0.5 см, показав результат точности равный 70%. Точность определения классов методом SVM опять оказалась лучше, чем у остальных – 72.5

Исходя из этого, можно сделать вывод, что точность классификации сильно зависит от размеров опухоли и выбранного алгоритма классификации.



Рисунок 12 – Диаграммы с точностью определения класса для трех методов классификации моделей с размером опухоли  $R=0.75$  см («1» – классифицировано верно, «0» – классифицировано неверно)

### 3.5 Результаты классификации для всех моделей вместе

В качестве заключительного эксперимента было принято решение смешать вместе данные моделей с радиусом 0.5 см и 0.75 см. В качестве обучающей выборки использовались 180 моделей, а в качестве тестовой – 60 моделей. После чтения из файла данные были перемешаны между собой.

Результаты представлены на диаграмме (рисунок 12). В этот раз лучшим по точности определения класса стал наивный байесовский классификатор с точностью 70%, которая не изменилась по сравнению с предыдущим экспериментом. А метод SVM, показавший лучший результат в предыдущих двух экспериментах, в этот раз определил классы моделей с точностью 66.7%, такой же как и метод k-ближайших соседей.



Рисунок 13 – Диаграммы с точностью определения класса для трех методов классификации моделей с размером опухоли  $R=0.5$  см и  $R=0.75$  см вместе («1» – классифицировано верно, «0» – классифицировано неверно)

## Заключение

В данной работе были рассмотрены некоторые из популярных библиотек языка программирования Python для решения задач машинного обучения. Был описан принцип работы таких алгоритмов классификации как метод опорных векторов (SVM), k-ближайших соседей и наивный байесовский классификатор.

Реализована программа для классификации данных компьютерного моделирования яркостной температуры на языке Python с помощью библиотеки Scikit-learn. Температурные данные были разбиты на обучающую и тестовую выборки и классифицированы с помощью получившейся программы.

Исходя из результатов классификации моделей был сделан вывод, что точность классификации данных сильно зависит от используемого алгоритма и размеров опухоли. Причем, если использовать все данные вместе – то результат сильно отличается от экспериментов, проведенных для каждого размера опухоли отдельно. Лучше всего в проведенных экспериментах себя показал метод опорных векторов (SVM) и наивный байесовский классификатор.

## Список литературы

1. Bardati, F. Modeling the Visibility of Breast Malignancy by a Microwave Radiometer / F. Bardati, S. Iudicello. – Текст : непосредственный // Biomed. Engineering. – 2008. – Vol.55 (6). – С. 214-221.
2. Cristianini, T. An Introduction to Support Vector Machines and Other Kernel-based Learning Methods / Nello Cristianini, John Shawe-Taylor. – Текст : непосредственный // Cambridge University Press. – 2000. – 204 с.
3. Crammer, K. On the algorithmic implementation of multiclass kernel-based vector machines / Koby Crammer, Yoram Singer. – Текст : непосредственный // Journal of Machine Learning Research. – 2002. – № 2. – С. 265–292.
4. Fear, K.E. Microwave detection of breast cancer / K.E. Fear, M. Stuchly. – Текст : непосредственный // IEEE Trans. Microwave Theory Tech. – 2000. – Vol.48 (11). – С. 1854-1863.
5. Hetal, B. An Empirical Evaluation of Data Mining Classification Algorithms / He-tal Bhavsar, Amit Ganatra. – Текст : непосредственный // International Journal of Computer Science and Information Security (IJCSIS). – 2016 – № 5. – С. 142–150.
6. Kumbhar, S. Comparative Analysis of Classification Algorithms / Vijaykumar S. Kumbhar. – Текст : электронный // NCORTIT. – 2017. – 5 С. – URL: <https://www.researchgate.net/publication/313440536>, свободный. — Загл. с экрана.
7. Leroy, Y. Non-invasive microwave radiometry thermometry / Y. Leroy, B. Bosquet, A. Mammouni. – Текст : непосредственный // Physiol. Means. – 1998. – Vol.19. – С. 127-148.
8. Mirmozaffari, M. Data Mining Classification Algorithms for Heart Disease Prediction / Mirpouya Mirmozaffari, Alireza Alinezhad, Azadeh Gilanpour. – Текст : непосредственный // International Journal of Computing



- Communications & Instrumentation Engg (IJCCIE). – 2017. – 4, № 1 – С. 11-15.
9. Mossina, L. Naive Bayes Classification for Subset Selection / Luca Mossina, Emmanuel Rachelson. – Текст : электронный // Physiol. Means. – 1998. – Vol.19. – С. 127-148. – URL: <https://www.researchgate.net/publication/318560282>, свободный. — Загл. с экрана.
  10. Sherwood, L. Fundamentals of Human Physiology / L. Sherwood. – Текст : непосредственный // Belmon : Brooks/Cole – 2012. – 720 с.
  11. Statnikov, A. A Gentle Introduction to Support Vector Machines in Biomedicine: Theory and methods / Alexander Statnikov, Constantin F. Aliferis, Douglas P. Hardin. – Текст : непосредственный // World Scientific. – 2011. – 183 с.
  12. Stauffer, P.R. Utility of Microwave Radiometry for Diagnostic and Therapeutic Applications of Non-Invasive Temperature Monitoring / P.R. Stauffer, D.R. Rodrigues. – Текст : непосредственный // IEEE BenMAS (Benjamin Franklin Symposium on Microwave and Antenna Sub-systems). – 2014. – С. 1-3.
  13. Van Ongeval, Ch. Digital mammography for screening and diagnosis of breast cancer: an overview / Ch. Van Ongeval. – Текст : непосредственный // PubMed PMID. – 2007. – Vol. 90 (3). – С. 163–166.
  14. Айвазян, С. Прикладная статистика: классификация и снижение размерности / Айвазян С. А., Бухштабер В. М., Енюков И. С., Мешалкин Л. Д. – Текст : непосредственный // Москва : Финансы и статистика, 1989. – 487 с.
  15. Алгоритмы интеллектуального анализа данных. / Текст : электронный // 2015. – URL: <https://tproger.ru/translations/top-10-data-mining-algorithms/>, свободный. — Загл. с экрана.

16. Барсегян, А. Методы и модели анализа данных: OLAP и Data Mining / А.А. Барсегян, М.С. Куприянов, В.В. Степаненко, И.И. Холод. – Текст : непосредственный // Санкт-Петербург : БХВ-Петербург, 2004. – 336 с.
17. Бирюлин, Г. Теплофизический расчет в конечно-элементном пакете COMSOL/FEMLAB : методическое пособие / Г.В. Бирюлин. – Текст : непосредственный // Санкт-Петербург : СПбГУИТМО, 2006. – 75 с.
18. Вандер Плас, Д. Python для сложных задач. Наука о данных и машинное обучение / Дж. Вандер Плас. – Текст : непосредственный // Санкт-Петербург : Питер, 2017. – 576 с.
19. Веснин, С. Современная микроволновая радиотермометрия молочных желез / С.Г. Веснин, М.А. Каплан, Р.С. Авакян. – Текст : электронный // Маммология/Онкогинекология. – 2008. – №3 – 8 с. – URL: <https://elibrary.ru/item.asp?id=11610722>, свободный. — Загл. с экрана.
20. Веснин, С. Разработка серии антенн-аппликаторов для неинвазивного измерения температуры тканей организма человека при различных патологиях / С.Г. Веснин, М.К. Седанкин. – Текст : электронный // Вестник МГТУ им. Н.Э. Баумана. Сер. «Естественные науки». – 2012. – №11 – С. 43-61. – URL: <https://elibrary.ru/item.asp?id=20179995>, свободный. — Загл. с экрана.
21. Вьюгин, В. Математические основы теории машинного обучения и прогнозирования / Владимир Вьюгин. – Текст : электронный // МЦМНО. – 2013. – 390 с.
22. Гудфеллоу, Я. Глубокое обучение / Гудфеллоу Я., Бенджио И., Курвилль А. – Текст : электронный // Москва : ДМК Пресс. – 2017. – 652 с.
23. Данилов, С. Интеллектуальный анализ данных с использованием системы Rapid Miner / С.В. Данилов. – Текст : электронный // Казанский (Приволжский) федеральный университет. – 2014. – 43 с.
24. Дауни, А. Байесовские модели / Дауни А.Б., пер. с англ. В. А. Яроцкого – Текст : непосредственный // Москва : ДМК Пресс. – 2018. – 182 с.

25. Доусон, М. Програмуємо на Python / Доусон М. – Текст : непосредственный // Санкт-Петербург : Питер. – 2019. – 416 с.
26. Журавлев, Ю. «Распознавание». Математические методы. Программная система. Практические применения / Журавлев Ю. И., Рязанов В. В., Сенько О. В. – Текст : непосредственный // Москва : Фазис, 2006. – 176 с.
27. Левитин, А. Алгоритмы. Введение в разработку и анализ / Левитин А. В. – Текст : непосредственный // Москва : Вильямс. – 2006. – 576 с.
28. Лосев, А. Проблемы измерения и моделирования тепловых и радиационных полей в биотканях: анализ данных микроволновой термометрии / А.Г. Лосев, А.В. Хоперсков, А.С. Астахов, Х.М. Сулейманова. – Текст : непосредственный // Вестн. Волгогр. гос. ун-та. Сер. 1, Мат. Физ. – 2015. – No 6 – 41 с.
29. МакГрат, М. Алгоритмы. Python. Программирование для начинающих / Майк МакГрат. – Текст : непосредственный // Эксмо. – 2013. – 194 с.
30. Мюллер, А. Введение в машинное обучение с помощью Python. Руководство для специалистов по работе с данными / Андреас Мюллер, Сара Гвидо. – Текст : непосредственный // Вильямс. – 2017. – 480 с.
31. Николенко, С. Алгоритмы. Глубокое обучение / Николенко С., Кадурин А., Архангельская Е. – Текст : непосредственный // Санкт-Петербург : Питер. – 2018. – 480 с.
32. Паклин, Н. Бизнес-аналитика: от данных к знаниям : Учебное пособие / Паклин Н.Б., Орешков В.И. – Текст : непосредственный // Санкт-Петербург : Питер, 2013. – 2-е изд. – 704 с.
33. Потапов, М. Анализ эффективности алгоритмов интеллектуального анализа данных для решения задачи распознавания изображений со спутников / Потапов М. П. – Текст : электронный // Федеральное государственное бюджетное образовательное учреждение высшего образования "Сибирский государственный университет науки и технологий имени академика М.Ф.

Решетнева": Актуальные проблемы авиации и космонавтики, 2016. – 1. – № 12 – С. 563-565.

34. Рашка, С. Python и машинное обучение / Рашка С., пер. с англ. А. В. Логунова. – Текст : непосредственный // Москва : ДМК Пресс, 2017. – 418 с.
35. Розенблатт, Ф. Принципы нейродинамики: Перцептроны и теория механизмов мозга / Розенблатт Ф. – Текст : непосредственный // Москва : Мир, 1965. – 480 с.
36. Флах, П. Машинное обучение / Флах П. – Текст : непосредственный // Москва : ДМК Пресс, 2015. – 400 с.
37. Шлезингер, М. Десять лекций по статистическому и структурному распознаванию / Шлезингер М., Главач В. – Текст : непосредственный // Киев : Наукова думка, 2004. – 546 с.

## Приложение А

### (обязательное)

### Программный код

Листинг А.1 – Код программы для классификации данных компьютерного моделирования яркостной температуры

```
import numpy as np
import pandas as pd
from sklearn import svm
import matplotlib.pyplot as plt
from sklearn import neighbors
from sklearn.naive_bayes import GaussianNB
from sklearn.utils import shuffle
modelFolder = '075'
def calcParams(testing, predict):
    zdorovieTesting = 0
    bolnieTesting = 0
    for item in testing:
        if item == 0:
            zdorovieTesting += 1
        else:
            bolnieTesting += 1
    zdoroviePredict = 0
    bolniePredict = 0
    for item in predict:
        if item == 0:
            zdoroviePredict += 1
        else:
            bolniePredict += 1
    chuvstv = bolniePredict / bolnieTesting
    specifich = zdoroviePredict / zdorovieTesting
    return chuvstv, specifich

data = pd.read_csv(modelFolder + '/data.csv',
    delimiter=',',
    names=['0рtm', '1рtm', '2рtm', '3рtm', '4рtm', '5рtm', '6рtm', '7рtm', '8рtm',
    '0ик', '1ик', '2ик', '3ик', '4ик', '5ик', '6ик', '7ик', '8ик', 'target'])
trainingTemperatures = data[['0рtm', '1рtm', '2рtm', '3рtm', '4рtm', '5рtm',
```

```

'6рtm', '7рtm', '8рtm', '0ик', '1ик', '2ик', '3ик', '4ик', '5ик', '6ик',
'7ик', '8ик']]
trainingTemperatures = shuffle(trainingTemperatures)
trainingTemperatures.reset_index(inplace=True, drop=True)
data.head()
testingData = pd.read_csv(modelFolder + '/testing.csv',
delimiter=',',
names=['0рtm', '1рtm', '2рtm', '3рtm', '4рtm', '5рtm', '6рtm', '7рtm', '8рtm',
'0ик', '1ик', '2ик', '3ик', '4ик', '5ик', '6ик', '7ик', '8ик', 'target'])
testingTemperatures = testingData[['0рtm', '1рtm', '2рtm', '3рtm', '4рtm',
'5рtm', '6рtm', '7рtm', '8рtm', '0ик', '1ик', '2ик', '3ик', '4ик', '5ик',
'6ик', '7ик', '8ик']]

#SVM
clf = svm.SVC(gamma='scale')
clf.fit(trainingTemperatures, data.target)

classes = clf.predict(testingTemperatures)

testingData.target
res = testingData.target == classes
trueCount = 0
for el in res:
if el == True:
trueCount += 1

print('Правильно определено:', trueCount, '\nНеправильно:', len(res) - trueCount)
chuvstv, specifich = calcParams(testingData.target, classes)
print('Чувствительность:', chuvstv, '\nСпецифичность:', specifich);

labels = 'Совпадает', 'Не совпадает'
values = [trueCount, len(res) - trueCount]
explode = (0.1, 0)

fig1, ax1 = plt.subplots()
ax1.pie(values, labels=labels, autopct='%1.1f%%',
shadow=True, startangle=90)
ax1.axis('equal')

plt.show()

```

```

#KNN
clf = neighbors.KNeighborsClassifier(20, weights='uniform')
clf.fit(trainingTemperatures, data.target)

classes = clf.predict(testingTemperatures)

testingData.target
res = testingData.target == classes
trueCount = 0
for el in res:
    if el == True:
        trueCount += 1

print('Правильно определено:', trueCount, '\nНеправильно:', len(res) - trueCount)
chuvstv, specifich = calcParams(testingData.target, classes)
print('Чувствительность:', chuvstv, '\nСпецифичность:', specifich);

labels = 'Совпадает', 'Не совпадает'
values = [trueCount, len(res) - trueCount]
explode = (0.1, 0)

fig1, ax1 = plt.subplots()
ax1.pie(values, labels=labels, autopct='%1.1f%%',
        shadow=True, startangle=90)
ax1.axis('equal')

plt.show()

#NB
gnb = GaussianNB()
clf = gnb.fit(trainingTemperatures, data.target)

classes = clf.predict(testingTemperatures)

testingData.target
res = testingData.target == classes
trueCount = 0
for el in res:
    if el == True:

```

```

trueCount += 1

print('Правильно определено:', trueCount, '\nНеправильно:', len(res) - trueCount)
chuvstv, specifich = calcParams(testingData.target, classes)
print('Чувствительность:', chuvstv, '\nСпецифичность:', specifich);

labels = 'Совпадает', 'Не совпадает'
values = [trueCount, len(res) - trueCount]
explode = (0.1, 0)

fig1, ax1 = plt.subplots()
ax1.pie(values, labels=labels, autopct='%1.1f%%',
shadow=True, startangle=90)
ax1.axis('equal')

plt.show()

```

Листинг А.2 – Код программы для отображения результатов частотного анализа

```

import numpy as np
import pandas as pd
from sklearn import svm
import matplotlib.pyplot as plt
import matplotlib
from sklearn import neighbors
from sklearn.naive_bayes import GaussianNB
from collections import Counter
from collections import OrderedDict
from scipy.interpolate import spline

modelFolder = 'all'
data = pd.read_csv(modelFolder + '/data.csv',
delimiter=',',
names=['0рtm', '1рtm', '2рtm', '3рtm', '4рtm', '5рtm', '6рtm', '7рtm', '8рtm',
'0ик', '1ик', '2ик', '3ик', '4ик', '5ик', '6ик', '7ик', '8ик', 'target'])

point = '0рtm'
filter1 = data.target == 0

```



```

fr1 = OrderedDict(sorted(dict(Counter(data.loc[filter1][point])).items()))
names1 = list(fr1.keys())
values1 = list(fr1.values())

x_smooth1 = np.linspace(min(names1), max(names1), 50)
y_smooth1 = spline(names1, values1, x_smooth1)

filter2 = data.target == 1
fr2 = OrderedDict(sorted(dict(Counter(data.loc[filter2][point])).items()))
names2 = list(fr2.keys())
values2 = list(fr2.values())

x_smooth2 = np.linspace(min(names2), max(names2), 50)
y_smooth2 = spline(names2, values2, x_smooth2)

fig, axs = plt.subplots(2, 1, figsize=(10, 10), sharey=True)
plt.subplots_adjust(wspace=0, hspace=0.17)
axs[0].bar(names1, values1)
#axs[0].plot(x_smooth1, y_smooth1, color='tab:orange')
axs[0].tick_params(axis='both', which='major', labelsize=15)
axs[0].set_title('Здоровые пациенты')

axs[1].bar(names2, values2)
#axs[1].plot(x_smooth2, y_smooth2, color='tab:orange')
axs[1].tick_params(axis='both', which='major', labelsize=15)
axs[1].set_title('Больные пациенты')
plt.savefig(point + '.png')
plt.show()

```

$\phi\phi\phi\phi$

$\phi\phi\phi\phi$

$\phi\phi\phi$